



Laboratorium EMVO Sp. J. Urbański, Pawełak

ul. Jasna 1  
00-013 Warszawa

tel. +48 22 780 29 64

e-mail: laboratorium@emvo.pl



AB 1630

## Sprawozdanie z pomiarów pól elektromagnetycznych - środowisko ogólne nr 20/07/OŚ/2022-P4



<b>Nr i nazwa stacji</b>	<b>ILA0301</b>	
<b>Adres</b>	<b>Kisielice, Al. Wojska Polskiego, dz. nr 30/10, pow. iławski, woj. warmińsko-mazurskie</b>	
<b>Opracowanie</b>	<b>Wiesław Laskowski</b>	<b>Specjalista ds. pomiarów</b>
<b>Autoryzacja</b>	<b>Andrzej Urbański</b>	<b>Kierownik Laboratorium</b>
<b>Podpis</b>		
<b>Data</b>	<b>2022-07-18</b>	

## Spis treści

1. Informacje ogólne. ....	3
2. Podstawa prawna. ....	3
3. Opis pomiarów ....	3
4. Zróżnicowanie dopuszczalne poziomy pól elektromagnetycznych. ....	4
5. Charakterystyka źródeł PEM. ....	5
6. Wyniki pomiarów. ....	6
7. Stwierdzenie zgodności ....	7
8. Oświadczenie. ....	8
9. Spis załączników. ....	8

## 1. Informacje ogólne.

Zleceniodawca	<b>P4 Sp. z o.o.</b> , ul. Wynałazek 1, 02-677 Warszawa osoba udzielająca informacji – Magdalena Sokół
Istotne informacje dostarczone przez klienta	komplet informacji niezbędnych do wykonania pomiarów i opracowania sprawozdania
Dane otrzymane od klienta mogące mieć wpływ na ważność wyników	dane anten sektorowych, dane anten radioliniowych, parametry pracy instalacji, poprawka pomiarowa
Prowadzący instalację	<b>P4 sp. z o.o.</b> , ul. Wynałazek 1, 02-677 Warszawa
Lokalizacja obiektu	Kisielice, Al. Wojska Polskiego, dz. nr 30/10, pow. iławski, woj. warmińsko-mazurskie
Miejsce instalacji anten	wieża ciśnień
Miejsce instalacji urządzeń	indoor
Osoby wykonujące pomiar	Roman Murawski - pomiarowiec
Data wykonania pomiaru	2022-07-18
Godzina rozpoczęcia pomiaru	8.10
Godzina zakończenia pomiaru	9.40
Temperatura na początku pomiaru [°C]	21
Temperatura na koniec pomiaru [°C]	21
Warunki atmosferyczne	brak opadów
Wilgotność na początku pomiaru [%]	58
Wilgotność na koniec pomiaru [%]	58
Inne źródła pól elektromagnetycznych oznaczone na załączniku graficznym	występują
Parametry pracy instalacji	tryb eksploatacyjny

## 2. Podstawa prawna.

### 2.1 Normy i rozporządzenia:

- Rozporządzeniem Ministra Klimatu z dnia 17 lutego 2020 r. w sprawie sposobów sprawdzania dotrzymania dopuszczalnych poziomów pól elektromagnetycznych w środowisku (Dz.U. 2020 poz. 258)
- Rozporządzenie Ministra Zdrowia z dnia 17 grudnia 2019 r. w sprawie dopuszczalnych poziomów pól elektromagnetycznych w środowisku (Dz.U. 2019 poz. 2448)
- Obwieszczenie Marszałka Sejmu Rzeczypospolitej Polskiej z dnia 19 lipca 2019 r. w sprawie ogłoszenia jednolitego tekstu ustawy - Prawo ochrony środowiska (Dz.U. 2019 poz. 1396)
- Rozporządzenie Ministra Klimatu i Środowiska z dnia 6 maja 2022 r. zmieniające rozporządzenie w sprawie sposobów sprawdzania dotrzymywania dopuszczalnych poziomów pól elektromagnetycznych w środowisku (Dz.U. 2022 poz. 1121).

## 3. Opis pomiarów

Metodologia pomiarowa      Pomiary w oparciu o Rozporządzeniem Ministra Klimatu z dnia 17 lutego 2020 r. w sprawie sposobów sprawdzania dotrzymania dopuszczalnych poziomów pól elektromagnetycznych w środowisku (Dz.U. 2020 poz. 258) oraz Rozporządzenie Ministra Klimatu i Środowiska z dnia 6 maja 2022 r. zmieniające rozporządzenie w sprawie sposobów sprawdzania dotrzymywania dopuszczalnych poziomów pól elektromagnetycznych w środowisku (Dz.U. 2022 poz. 1121).

Cel badań                      Określenie wartości natężenia pola elektrycznego w miejscach dostępnych dla ludności.

„Bez pisemnej zgody Laboratorium niniejsze sprawozdanie nie może być powielane inaczej, jak tylko w całości. Ponadto wyniki dotyczą tylko badanych obiektów przywołanych w niniejszym sprawozdaniu z badań”

Opis zestawu pomiarowego	<p>Miernik Narda NBM 550, Sonda EF 6092, o zakresie pomiarowym 0,7 V/m –300V/m pracująca w paśmie 0,1 – 90 GHz, świadectwo wydane przez Laboratorium Wzorców i Metrologii Pola Elektromagnetycznego, Instytut Telekomunikacji, Teleinformatyki i Akustyki Politechniki Wrocławskiej. Świadectwo ważne do 10.06.2024 r.</p> <p>Miernik Narda NBM 550, Sonda EF 6092 pracująca w zakresie temperatury -10°C - +50°C oraz wilgotności 5% - 95%</p> <p>Niepewność rozszerzona wynosi 58,8% przy poziomie ufności 95% z uwzględnieniem współczynnika rozszerzenia k=2.</p>
Wyposażenie pomocnicze	<p>Termohigrometr Bestone, typ: GM1362-EN-00, nr identyfikacyjny 1222436, świadectwo wzorcowania z dn. 22.12.2015 r. wydane przez Laboratorium Pomiarowe "MUTECH".</p> <p>Przymiar wstępowy STABILA, nr identyfikacyjny 5/WL/2016, świadectwo wzorcowania z dn. 06.09.2016 r. wydane przez Zespół Laboratoriów wzorcujących Okręgowego Urzędu Miar w Gdańsku.</p> <p>GPS Garmin 64s okresowo sprawdzany w punktach osnowy geodezyjnej klasy 3 na podstawie licencji punktu, zgodnie z procedurą sprawdzeń okresowych IS/PO-16-11/03.</p>
Pomiary zostały wykonane	<ol style="list-style-type: none"> <li>na głównych i pomocniczych kierunkach pomiarowych, na kierunkach zbliżonych do azymutów anten oraz w dodatkowych pionach pomiarowych zgodnie z wymaganiami pkt 12, 13, 14 i 19 Rozporządzenia Ministra Klimatu z dnia 17 lutego 2020 r. (Dz. U. 2020, poz. 258) oraz Rozporządzenia Ministra Klimatu i Środowiska z dnia 6 maja 2022 r. zmieniającego rozporządzenie w sprawie sposobów sprawdzania dotrzymywania dopuszczalnych poziomów pól elektromagnetycznych w środowisku (Dz.U. 2022 poz. 1121).</li> <li>na obszarze pomiarowym, dla którego, na podstawie uprzednio przeprowadzonych obliczeń stwierdzono w miejscach dostępnych dla ludności występowanie pól elektromagnetycznych o najwyższym poziomie, które pochodzą z badanej instalacji zgodnie z wymaganiami pkt 5 ppkt 2 oraz pkt 13 ppkt 1 Rozporządzenia Ministra Klimatu z dnia 17 lutego 2020 r. w sprawie sposobów sprawdzania dotrzymywania dopuszczalnych poziomów pól elektromagnetycznych w środowisku (Dz. U. 2020, poz. 258) oraz Rozporządzenia Ministra Klimatu i Środowiska z dnia 6 maja 2022 r. zmieniającego rozporządzenie w sprawie sposobów sprawdzania dotrzymywania dopuszczalnych poziomów pól elektromagnetycznych w środowisku (Dz.U. 2022 poz. 1121). Wyniki obliczeń nie uwzględniały parametrów pracy instalacji innych operatorów występujących na obiekcie bądź w obszarze pomiarowym.</li> <li>w miejscach dostępnych dla ludności.</li> <li>miejsca niedostępne podczas wykonywania pomiarów wskazane zostały w pkt 6 (tabeli wyniki pomiarów).</li> </ol>
Szczególne warunki podczas wykonywania pomiarów	Pomiary wykonane zostały podczas obowiązywania w kraju stanu zagrożenia epidemicznego, zgodnie z art. 122a ust. 1b Ustawy z dnia 27 kwietnia 2001 r. – Prawo ochrony środowiska (Dz. U. z 2019 r. poz. 1396, z późn. zm.9))
Warunki pracy urządzeń nadawczych	Tryb pracy eksploatacyjny.

#### 4. Zróżnicowanie dopuszczalne poziomy pól elektromagnetycznych.

Zgodnie z informacją otrzymaną od Klienta pomiary zostały wykonane przy ustawieniach pochylenia anten zgodnych z pkt. 13, ppkt 2 Rozporządzenia Ministra Klimatu z dnia 17 lutego 2020 roku.

Zakres częstotliwości pola elektromagnetycznego	Parametr fizyczny		
	Składowa elektryczna E (V/m)	Składowa magnetyczna H (A/m)	Gęstość mocy S (W/m <sup>2</sup> )
od 400 MHz do 2000 MHz	$1,375 \times f^{0,5}$	$0,0037 \times f^{0,5}$	f / 200
od 2 GHz do 300 GHz	61	0,16	10

## 5. Charakterystyka źródeł PEM.

Zgodnie z informacją otrzymaną od klienta pomiary zostały wykonane przy ustawieniach pochylenia anten zgodnych z pkt. 13, ppkt 2 załącznika do rozporządzenia Ministra Klimatu z dnia 17 lutego 2020 roku.

Tabela 1. Anteny sektorowe - dane otrzymane od klienta

Charakterystyka promieniowania		kierunkowa														
Rzeczywisty czas pracy [h/dobę]		24														
Rodzaj wytwarzanego pola		stacjonarne														
Lp.	Wyszczególnienie	sektor 1					sektor 2					sektor 3				
<b>I</b>																
<b>Nadajnik stacji bazowej:</b>																
1	Typ / Producent	DBS/RBS / Overlay Huawei/Ericsson														
2	Częstotliwość (pasmo) MHz	2600	800	2100	1800	900	2600	800	2100	1800	900	2600	800	2100	1800	900
3	Maksymalna moc nadawana na sektor [dBm]	52,04	49,03	53,01	53,01	47,78	52,04	49,03	53,01	53,01	47,78	52,04	49,03	53,01	53,01	47,78
<b>II</b>																
<b>Obciążenie:</b>																
1	Typ anteny	Huawei ATR4518R6		Huawei ATR4518R6			Huawei ATR4518R6		Huawei ATR4518R6			Huawei ATR4518R6		Huawei ATR4518R6		
2	Producent anteny	Huawei		Huawei			Huawei		Huawei			Huawei		Huawei		
3	Ilość anten	1		1			1		1			1		1		
4	Azymut	100					220					340				
5	Zakres kątów pochylenia anten [°]	0,00-10,00					0,00-10,00					0,00-10,00				
6	Średnie pochylenie anten (ustawione do pomiarów PEM) [°]	5					5					5				
7	Wysokość zainstalowania n.p.t. [m] (środek elektryczny anteny)	35,00					35,00					35,00				
8	EIRP [W]	12665		22639			12665		22639			12665		22639		

Tabela 2. Anteny radioliniowe - dane otrzymane od klienta

Charakterystyka promieniowania				kierunkowa			
Rzeczywisty czas pracy [h/dobę]				24			
Rodzaj wytwarzanego pola				stacjonarne			
Lp.	Linia radiowa			Antena			
	typ/producent	częstotliwość pracy [GHz]	moc wyjściowa [dBm]	typ/producent	średnica anteny [m]	azymut [°]	wysokość zainstalowania n.p.t. [m] (środek elektryczny anteny)
1	OPTIX RTN/HUAWEI	23	21	VHLPX2-23/Andrew	0,6	105	36,60
2	OPTIX RTN/HUAWEI	80/23	18/25	A23S80S06/Huawei	0,6	162	35,60
3	OPTIX RTN/HUAWEI	23	18	VHLP2-23/Andrew	0,6	243	35,60
4	OPTIX RTN/HUAWEI	80	18	VHLP2-80/Andrew	0,6	243	35,60
5	OPTIX RTN/HUAWEI	23	21	VHLPX2-23/Andrew	0,6	320	36,20

## 6. Wyniki pomiarów.

Wyniki pomiarów pól elektromagnetycznych dla celów ochrony środowiska przedstawia poniższa tabela. Piony pomiarowe zostały przedstawione w zał. 2.

Nr PP	Pole-E [V/m]	Pole-E+U [V/m]	Pole-H [A/m]	Pole-H +U [A/m]	Wysokość pomiaru [m]	Współrzędne PP x, y	Opis PP	WM <sub>E</sub>	WM <sub>H</sub>
1	0,9	1,43	0,002	0,004	0,3 - 2,0	53°36'25,5" N 19°15'37,6" E	otoczenie stacji bazowej - 300 m wzdłuż gł. osi promieniowania - GKP	0,052	0,052
2	1,0	1,59	0,003	0,004	0,3 - 2,0	53°36'25,3" N 19°15'40,4" E	otoczenie stacji bazowej - 350 m wzdłuż gł. osi promieniowania - GKP	0,058	0,058
3	1,2	1,91	0,003	0,005	0,3 - 2,0	53°36'26,1" N 19°15'19,7" E	otoczenie stacji bazowej - 50 m wzdłuż gł. osi promieniowania - GKP	0,069	0,069
4	0,9	1,43	0,002	0,004	0,3 - 2,0	53°36'24,8" N 19°15'18,1" E	otoczenie stacji bazowej - 100 m wzdłuż gł. osi promieniowania - GKP	0,052	0,052
5	0,7*	1,27	0,002	0,003	0,3 - 2,0	53°36'23,6" N 19°15'16,2" E	otoczenie stacji bazowej - 150 m wzdłuż gł. osi promieniowania - GKP	0,046	0,046
6	0,7*	1,27	0,002	0,003	0,3 - 2,0	53°36'22,4" N 19°15'14,6" E	otoczenie stacji bazowej - 200 m wzdłuż gł. osi promieniowania - GKP	0,046	0,046
7	1,5	2,38	0,004	0,006	0,3 - 2,0	53°36'18,6" N 19°15'09,4" E	otoczenie stacji bazowej - 350 m wzdłuż gł. osi promieniowania - GKP	0,087	0,087
8	0,9	1,27	0,002	0,003	0,3 - 2,0	53°36'35,1" N 19°15'16,8" E	otoczenie stacji bazowej - 250 m wzdłuż gł. osi promieniowania - GKP	0,046	0,046
9	1,0	1,59	0,003	0,004	0,3 - 2,0	53°36'36,6" N 19°15'16,0" E	otoczenie stacji bazowej - 300 m wzdłuż gł. osi promieniowania - GKP	0,058	0,058
10	0,9	1,43	0,002	0,004	0,3 - 2,0	53°36'38,1" N 19°15'15,1" E	otoczenie stacji bazowej - 350 m wzdłuż gł. osi promieniowania - GKP	0,052	0,052
11	0,7*	1,27	0,002	0,003	0,3 - 2,0	53°36'24,3" N 19°15'23,3" E	otoczenie stacji bazowej - 100 m wzdłuż gł. osi promieniowania - GKP	0,046	0,046
12	0,9	1,27	0,002	0,003	0,3 - 2,0	53°36'28,7" N 19°15'20,0" E	otoczenie stacji bazowej - 50 m wzdłuż gł. osi promieniowania - GKP	0,046	0,046
A	1,2	1,91	0,003	0,005	0,3 - 2,0	53°36'28,0" N 19°15'24,4" E	ul. Rodziny Stangów 2, salon fryzjerski, pomiar przy budynku - DPP	0,069	0,069
B	1,0	1,59	0,003	0,004	0,3 - 2,0	53°36'26,2" N 19°15'23,2" E	Wojska Polskiego 27, pomiar przy budynku - DPP	0,058	0,058
C	0,8	1,27	0,002	0,003	0,3 - 2,0	53°36'25,9" N 19°15'22,3" E	Wojska Polskiego 29, pomiar przy budynku - DPP	0,046	0,046
D	1,1	1,75	0,003	0,005	0,3 - 2,0	53°36'25,4" N 19°15'20,8" E	Wojska Polskiego 31, pomiar przy budynku - DPP	0,064	0,063
E	0,8	1,27	0,002	0,003	0,3 - 2,0	53°36'24,9" N 19°15'19,4" E	Wojska Polskiego 33, pomiar przy budynku - DPP	0,046	0,046
F	0,7*	1,27	0,002	0,003	0,3 - 2,0	53°36'24,5" N 19°15'21,5" E	Wojska Polskiego 35, pomiar przy budynku - DPP	0,046	0,046
G	0,7*	1,27	0,002	0,003	0,3 - 2,0	53°36'25,0" N 19°15'24,7" E	ul. Wiktora 4, pomiar przy ogrodzeniu - DPP	0,046	0,046
H	1,0	1,59	0,003	0,004	0,3 - 2,0	53°36'25,7" N 19°15'24,4" E	ul. Wiktora 2, pomiar przy budynku - DPP	0,058	0,058
I	1,1	1,75	0,003	0,005	0,3 - 2,0	53°36'26,4" N 19°15'18,6" E	ul. Sportowa 1a, pomiar przy budynku - DPP	0,064	0,063
J	0,9	1,43	0,002	0,004	0,3 - 2,0	53°36'25,4" N 19°15'16,8" E	Wojska Polskiego 10, pomiar przy budynku - DPP	0,052	0,052
K	0,8	1,27	0,002	0,003	0,3 - 2,0	53°36'27,2" N 19°15'17,9" E	ul. Sportowa 1, pomiar przy budynku - DPP	0,046	0,046
L	0,7*	1,27	0,002	0,003	0,3 - 2,0	53°36'28,5" N 19°15'17,7" E	garaże, pomiar przy budynku - DPP	0,046	0,046
M	1,3	2,06	0,003	0,005	0,3 - 2,0	53°36'29,3" N 19°15'20,5" E	ul. Sportowa 2, pomiar przy budynku - DPP	0,075	0,075
N	1,1	1,75	0,003	0,005	0,3 - 2,0	53°36'30,1" N 19°15'19,5" E	ul. Daszyńskiego 15, pomiar przy budynku - DPP	0,064	0,063
O	0,7*	1,27	0,002	0,003	0,3 - 2,0	53°36'32,3" N 19°15'18,6" E	ul. Daszyńskiego 14, pomiar przy budynku - DPP	0,046	0,046

„Bez pisemnej zgody Laboratorium niniejsze sprawozdanie nie może być powielane inaczej, jak tylko w całości. Ponadto wyniki dotyczą tylko badanych obiektów przywołanych w niniejszym sprawozdaniu z badań”

Nr PP	Pole-E [V/m]	Pole-E+U [V/m]	Pole-H [A/m]	Pole-H +U [A/m]	Wysokość pomiaru [m]	Współrzędne PP x, y	Opis PP	WM <sub>E</sub>	WM <sub>H</sub>
P	0,7*	1,27	0,002	0,003	0,3 - 2,0	53°36'33,3"N 19°15'18,2"E	ul. Daszyńskiego 14, pomiar przy budynku - DPP	0,046	0,046
R	1,0	1,59	0,003	0,004	0,3 - 2,0	53°36'29,2" N 19°15'21,9" E	ul. Rodziny Stangów 3/5, pomiar przy budynku - DPP	0,058	0,058
S	0,7*	1,27	0,002	0,003	0,3 - 2,0	53°36'30,0" N 19°15'23,6" E	ul. Rodziny Stangów 6, pomiar przy budynku - DPP	0,046	0,046
T	0,8	1,27	0,002	0,003	0,3 - 2,0	53°36'29,0" N 19°15'24,0" E	ul. Rodziny Stangów 4, pomiar przy budynku - DPP	0,046	0,046
U	0,8	1,27	0,002	0,003	0,3 - 2,0	53°36'27,9"N 19°15'24,4"E	ul. Rodziny Stangów 2, pomiar przy budynku - DPP	0,046	0,046
V	1,2	1,91	0,003	0,005	0,3 - 2,0	53°36'26,8" N 19°15'25,2" E	Wojska Polskiego 25, pomiar przy budynku - DPP	0,069	0,069
W	1,0	1,59	0,003	0,004	0,3 - 2,0	53°36'23,3" N 19°15'26,3" E	Wojska Polskiego 23, pomiar przy budynku - DPP	0,058	0,058
X	1,0	1,59	0,003	0,004	0,3 - 2,0	53°36'25,6" N 19°15'25,3" E	ul. Wiktora 1, pomiar przy budynku - DPP	0,058	0,058
Y	0,7*	1,27	0,002	0,003	0,3 - 2,0	53°36'24,1"N 19°15'24,9"E	ul. Wiktora 6, pomiar przy ogrodzeniu - DPP	0,046	0,046
Z	0,7*	1,27	0,002	0,003	0,3 - 2,0	53°36'24,5"N 19°15'24,6"E	ul. Wiktora 8, pomiar przy budynku - DPP	0,046	0,046
a	0,7*	1,27	0,002	0,003	0,3 - 2,0	53°36'27,7" N 19°15'28,9" E	Wojska Polskiego 21, pomiar przy budynku - DPP	0,046	0,046
b	0,7*	1,27	0,002	0,003	0,3 - 2,0	53°36'26,5" N 19°15'29,2" E	Jagiellońska 8, pomiar przy budynku - DPP	0,046	0,046
c	0,7*	1,27	0,002	0,003	0,3 - 2,0	53°36'26,6"N 19°15'31,0"E	Jagiellońska 9, pomiar przy budynku - DPP	0,046	0,046
d	0,7*	1,27	0,002	0,003	0,3 - 2,0	53°36'26,1" N 19°15'33,4" E	ul. Kwiatowa 1, pomiar przy ogrodzeniu - DPP	0,046	0,046
e	0,7*	1,27	0,002	0,003	0,3 - 2,0	53°36'26,1"N 19°15'34,3"E	ul. Kwiatowa 3, pomiar przy ogrodzeniu - DPP	0,046	0,046
f	0,8	1,27	0,002	0,003	0,3 - 2,0	53°36'25,7" N 19°15'35,1" E	ul. Kwiatowa 4, pomiar przy ogrodzeniu - DPP	0,046	0,046
g	0,8	1,27	0,002	0,003	0,3 - 2,0	53°36'25,9" N 19°15'36,1" E	ul. Kwiatowa 6, pomiar przy ogrodzeniu - DPP	0,046	0,046

Wynik pomiaru pole - E [V/m] - maksymalna wartość chwilowa zmierzona w danym pionie pomiarowym (uśredniona na podstawie punktu 11 Rozporządzenia Ministra Zdrowia).

Przyjęto najniższą dopuszczalną wartość składowej elektrycznej pola dla objętego pomiarami zakresu częstotliwości  $\min(ME_{gr})= 28 \text{ V/m}$  oraz składowej magnetycznej  $\min(MH_{gr})= 0,073 \text{ A/m}$ .

\* - wartość zmierzona poniżej zakresu akredytacji. Do obliczeń przyjęto wartość zgodną z dolną granicą akredytowanego zakresu pomiarowego metody.

GKP - główne kierunki pomiarowe

PKP - pomocnicze kierunki pomiarowe

DPP - dodatkowe punkty pomiarowe

PP - pion pomiarowy

U - niepewność pomiarowa rozszerzona, przy poziomie ufności 95%, z uwzględnieniem współczynnika rozszerzenia  $k=2$

WM<sub>E</sub> - wartość wskaźnikowa poziomu emisji pól elektromagnetycznych dla miejsc dostępnych dla ludności dla składowej elektrycznej pola

WM<sub>H</sub> - wartość wskaźnikowa poziomu emisji pól elektromagnetycznych dla miejsc dostępnych dla ludności dla składowej magnetycznej pola

## 7. Stwierdzenie zgodności

Na podstawie wytycznych podanych w Rozporządzeniu Ministra Zdrowia z dnia 17 grudnia 2019 r. w sprawie dopuszczalnych poziomów pól elektromagnetycznych w środowisku (Dz.U. 2019 poz. 2448) oraz sposobów sprawdzania dotrzymania tych poziomów zgodnie z Rozporządzeniem Ministra Klimatu z dnia 17 lutego 2020 r. w sprawie sposobów sprawdzania dotrzymania dopuszczalnych poziomów pól elektromagnetycznych w środowisku (Dz.U. 2020 poz. 258) oraz Rozporządzeniem Ministra Klimatu i Środowiska z dnia 6 maja 2022 r. zmieniającego

rozporządzenie w sprawie sposobów sprawdzania dotrzymywania dopuszczalnych poziomów pól elektromagnetycznych w środowisku (Dz.U. 2022 poz. 1121), dotyczących źródła wymagań, które muszą być spełnione, w oparciu o zasadę podejmowania decyzji zgodną z pkt 26 Rozporządzenia Ministra Klimatu z dnia 17 lutego 2020 r. (Dz.U. 2020 poz. 258), na podstawie wyników pomiarów pól elektromagnetycznych wykonanych w dniu 2022-07-18 stwierdzono, iż w miejscach dostępnych dla ludności, dopuszczalne poziomy pól elektromagnetycznych w środowisku, określone w przepisach wydanych na podstawie art. 122 ust. 1 ustawy z dnia 27 kwietnia 2001 r. – Prawo ochrony środowiska, uznaje się za dotrzymane w obszarze pomiarowym, w którym w wyniku zastosowania sposobu sprawdzenia dotrzymania dopuszczalnych poziomów pól elektromagnetycznych w środowisku, udokumentowano, że żadna z wartości wskaźnikowych nie przekracza wartości 1.

## 8. Oświadczenie.

Wyniki badania odnoszą się wyłącznie do badanego obiektu.

Bez pisemnej zgody sprawozdanie nie może być powielane inaczej, jak tylko w całości.

Uwagi i zastrzeżenia przyjmowane są w formie pisemnej w ciągu 14 dni od daty otrzymania sprawozdania.

## 9. Spis załączników.

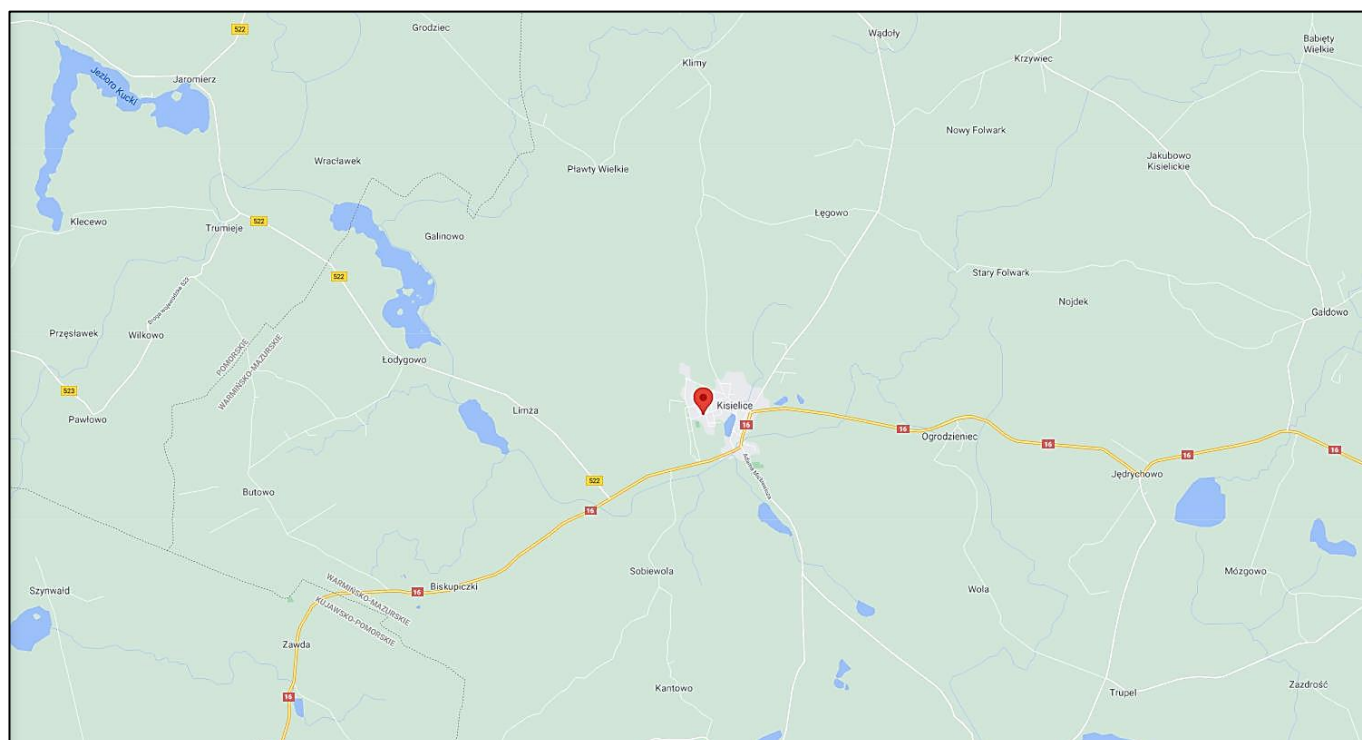
Załącznik 1. Lokalizacja obiektu.

Załącznik 2. Widok pionów pomiarowych

Załącznik 3. Widok stacji bazowej

## Koniec sprawozdania

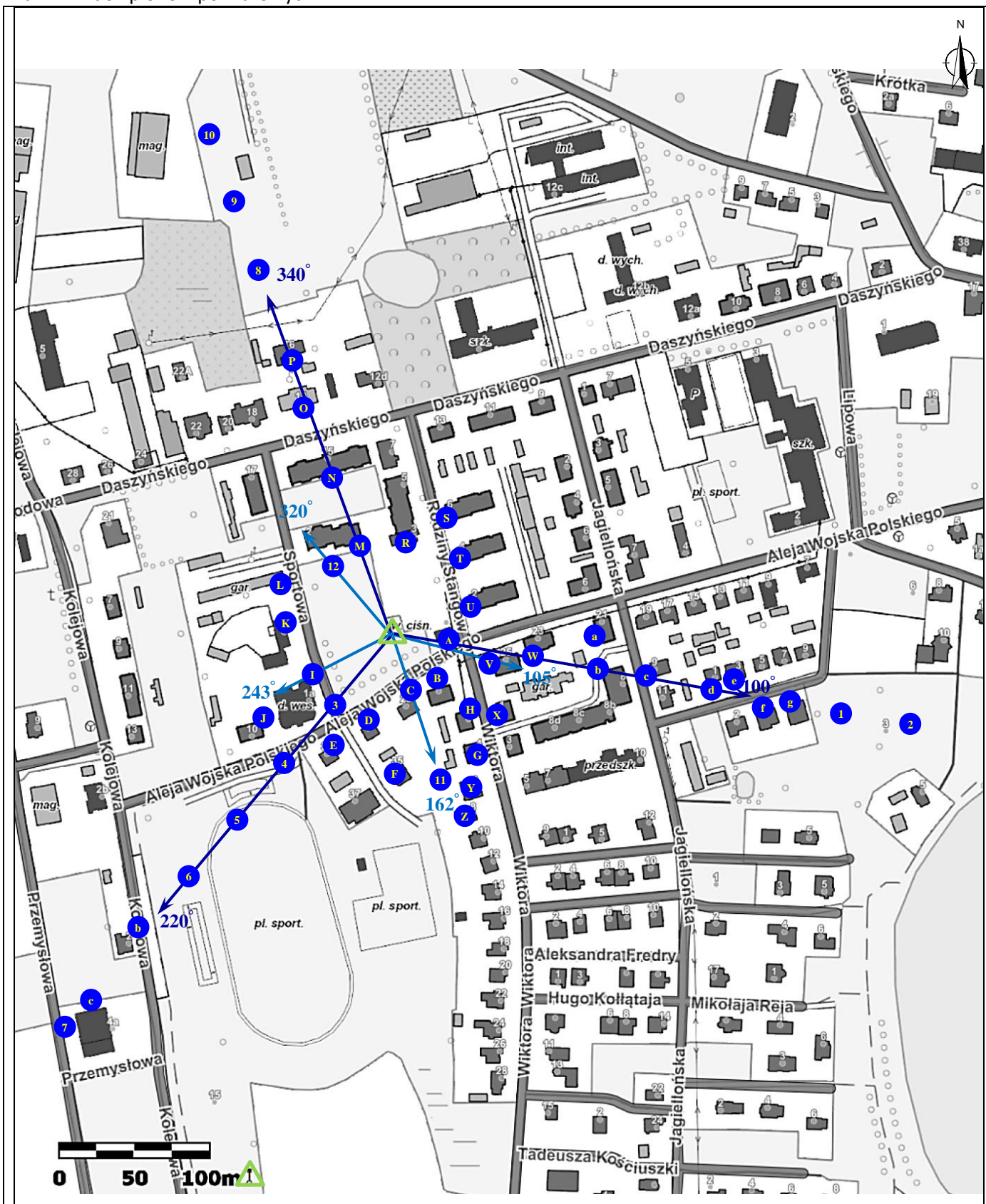
Załącznik 1. Lokalizacja obiektu








Współrzędne geograficzne	
długość:	19°15'22.20"E
szerokość:	53°36'26.90"N



Załącznik 2. Widok pionów pomiarowych



LEGENDA:

- |   |                                    |   |                     |
|---|------------------------------------|---|---------------------|
|  | inna instalacja radiokomunikacyjna |  | antena sektorowa    |
|  | brak dostępu                       |  | antena radioliniowa |
|  | pion pomiarowy                     |   |                     |
- Odległość, do której zostały wykonane pomiary, mierząc od instalacji antenowej, wynosi min. 350m

Skala 1: 5000

### Załącznik 3. Załączniki graficzne

